

**Design of storm water Drainage Systems Storm water  
Drainage Systems in Middle Eastern Cities  
" A new Approach"**

تصميم مجاري الأمطار في مدن الشرق الأوسط (تناول جديد)

**Zaher S. Khaiel**

\* زاهر سعدي كحيل \*

**ABSTRACT**

It is a tradition among the Arab designers not to consider the effect of sediments in their design of drainage systems which would give a wrong design , especially according to the lack of maintenance of drainage systems. Ignoring the effect of sediments leads to ignoring a major factor affecting the hydraulic roughness of the flow, where sediments increase the hydraulic roughness and also decrease the cross section of the sewers.

The aim of this paper is to introduce a new approach to handle the design of storm sewers and also to include all hydraulic factors which affect the flow, these factors are:

1. Properties of sediments (diameter, shape and density)
2. Water properties (density, viscosity and temperature)
3. Flow characteristics (velocity, sediment concentration, sediment depth, gravitational force and depth of sediments)

In order to achieve this model , laboratory tests (carried out by the author on a prototype at Salford Hydraulic Laboratory in Manchester).

## ملخص

المهندس المصمم في الوطن العربي نادرًا ما يأخذ في حسابه أثر المترسبات والتي وبسبب عدم الصيانة الدورية في كثير من البلدان تعطي تصميمًا خاطئًا ، فنجد أن المصمم يعتبر أن السريان داخل خط مجري الأمطار هو المياه النقية من الأمطار وبدون مترسبات وهذا يعتبر تجاهلاً لمتغير هيدروليكي رئيسي فوجود المترسبات يزيد من الخشونة الكلية للأنبوب كما ويقلل من القطر المتاح داخل الأنابيب ومن هنا كانت الحاجة لهذه الورقة لكي تغطي هذا الجانب من حيث التصميم والمعامل التي يجب أن تؤخذ في الحسبان.

لذا - تهدف هذه الورقة إلى دراسة الوضع الهيدروليكي للأنباب التي تحوي المترسبات وكذا وتصرف السريان داخلها وكذلك إلى تقديم طريقة للتصميم تتميز وبالتالي :

١. إحتوائها على كل المتغيرات الهيدروليكية وهي :

  - أ. خواص المترسبات ( القطر المتوسط ، الشكل ، الكثافة )
  - ب. خواص المياه ( الكثافة ، الزوجة الحركية ، الحرارة )
  - ج. خواص السريان ( السرعة ، تركيز المترسبات ، الجاذبية ، عمق المترسبات في الأنابيب )

٢. قلة المعاملات التجريبية
٣. سهولة التطبيق.

ولكي تم هذه الدراسة على أساس عملي واضح تم تصميم نموذج هيدروليكي كامل لمجرى الأمطار بعمل الهيدروليكي بجامعة سالفورد-مانشستر مع تحكم في تركيز المترسبات وخشونة الأنابيب وسرعة السريان وتمأخذ نتائج معملية والتي بلغت في مجموعها ٢٩٥ نتيجة مخبرية .

### مقدمة

يعتبر جو الشرق الأوسط من الأجزاء الممطرة شتاءً والجافة صيفاً وهذا له أثر كبير على تصميم مجاري الأمطار ووضعها الهيدروليكي، ففي فترة الصيف الجافة يتم تجمع كميات كبيرة من الرمال والحسى وغيرها من المترسبات حول مجموعات الأمطار Gutters وفي داخل خطوط المجاري وعند هطول المطر يتم صرف المترسبات Sediments المحيطة إلى داخل الأنابيب إضافة إلى الموجود أصلاً. ويمكن تصنيف المترسبات التي يمكن أن تدخل مجاري الأمطار إلى عدة أنواع منها (الرمل، الحسى، مواد إنشاء الطرق، مواد الصناعة، مواد إنشاء المباني،...الخ) وتتوارد هذه المترسبات بأشكال وأقطار مختلفة فإذا ما تم تجاهل هذه الكميات من المترسبات عند التصميم تصبح شبكة صرف المطر غير قادرة على أداء وظيفتها .

### الطرق الموجودة للتصميم:

تعتمد الطرق الموجودة جميعها على تحديد السرعة التي يجب أن تتوفر للمياه لكي يكون السريان داخل المجاري قادراً على الحفاظ عليها خالية من المترسبات وتسمى السرعة التنظيفية Self Cleansing Velocity والقيم المستخدمة هي:

BS 8005 (1987)	1.0 m/s
Bs-Cp2005 (1968)	0.76 m/s
Water Pollution Control Federation	0.9 m/s
ASCE, USA	0.9 m/s

وقد تم استخدام طرق للتعامل مع المترسبات داخل الأنابيب مثل :

Durand 1952, Laurson 1956, Graf 1971, Novak 1978, Ackers 1984.

غير أن هذه الطرق تفتقر إلى الأمور التالية:

- أ. تعتبر أن الأنابيب ناعمة وهذا يقود إلى نتائج غير دقيقة حيث أن الواقع عكس ذلك.
- ب. لا تأخذ كل المتغيرات الهيدروليكيه في الحسبان.

#### النموذج النظري المقترن:

تم اعتماد حالة خط المجاري وهو ممتلى بالمياه (full flow) ، وهذا يحدث عادة في حالة المطر القصوى ( storm ) والتي تحدث على فترات متقطعة خلال فصل الشتاء، حيث يتم أثناءها شطف كامل أو جزئي للمترسبات إن كان التصميم صحيحاً.

وهناك متطلبات رئيسية يجب مراعاتها عند تصميم مجاري الأمطار :

أولهما : أن تكون هناك قدرة لأنابيب على نقل كمية الأمطار الواردة للمجاري.  
وثانيهما : أن يكون لأنابيب القدرة على نقل المترسبات داخلها.

لكي نفهم الوضع الهيدروليكي للسريان بوجود مترسبات نفرض أن لدينا أنبوباً أفقياً كجزء من خطوط المجاري وفتحاته عند مجمعات الأمطار Gutters مغمورة بالمياه، ولنفرض أن لدينا الحالة الأولى وهي عدم وجود مترسبات فتكون هناك سرعة متوسطة للسريان في خط المجاري وهي تساوي معدل التدفق من الأنابيب مقسوماً على مساحة الأنابيب ويتبع ذلك ميل الضغط الهيدروليكي ( a ) حيث يمكن حسابه باي طريقة من الطرق المعروفة

( Manning, Sticker, Sciecme, Colebrook-White, Darcy,...etc.)

ويدخلون المترسبات لخط المجاري تزيد المعمقفات أمام السريان أو بمعنى آخر ترداد الخشونة الهيدروليكيه مما يجعل من الصعب حساب متوسط السرعة حيث أنها تساوي معدل التدفق المائي الخارج من الأنابيب مقسوماً على مقطع الأنابيب مطروحاً منه مساحة الجزء المشغول بالمترسبات وهذا يتبعه استحالة استعمال

المعادلات السابقة المعروفة لحساب الميل الهيدروليكي (٤) حيث أنها لا تطبق أبداً، فإذا كان تركيز المترسبات قليلًاممكن للسريان إخراجها من الأنابيب بشكل سريان متجانس أما إذا كان التركيز مرتفع فإن السريان يصل إلى مرحلة تكون من خلالها حركة المترسبات بطئية ويزداد وجود المترسبات إلى أن تصل مرحلة يكون فيها اتزان بين كميات المترسبات الداخلية وكميات المترسبات المستقرة في قاع الأنابيب وكميات المترسبات المتحركة أعلى المترسبات المتقلقة بالدرجات أو بشكل أكواخ صغيرة متحركة، والحالات السابقة يمكن تفسيرها بسرعات السريان ، ففي حالة السريان الذي تتحرك فيه المترسبات بشكل متجانس Homogeneous Flow تكون السرعة عالية نسبيا (V1) أو أن تركيز المترسبات منخفض أو كلامها . وإذا قلت السرعة إلى V2 يكون سريان المترسبات بأكواخ أسفل الأنابيب (Dunes) وتخرج بسريان بطيء للمترسبات (Heterogeneous Flow ) وإذا قلت السرعة إلى V يكون هناك عمق للمترسبات أسفل الأنابيب يتحرك ببطء شديد وأعلاه حركة لأكواخ صغيرة تنتقل بسرعة أكبر والحالة الأخيرة هي حالة مستقرة يصعب التمييز بينها وبين الحالة التي تسبقها لذا فإن التحليل سيشمل الحالتين بإعتبار أن السريان في الحالتين هو سريان غير متجانس وبافتراض أن متوسط مساحة مقطع المترسبات في الأنابيب هو حجم المترسبات داخل الأنابيب مقسوما على طول الأنابيب، لذا فإن التحليل سيتم على جميع النتائج المخبرية والتي أخذت للسريان الغير متجانس (Asymmetric Flow)

**الخشونة الهيدروليكيّة لمجاري الأمطار:**

هناك عوامل كثيرة تؤثر على الخشونة الهيدروليكيّة مثل :

- خشونة سطح الأنابيب الداخلي
  - تأكل الأنابيب
  - نوعية الوصلات بين الأنابيب

- المسافة بين الوصلات
- المواد اللزجة الملتصقة (Slime)
- الإنحراف عن القطر الدائري
- الإنحراف عن الاتجاه الطولي للأنبوب

وفي حالة وجود مترسبات داخل الأنابيب فإن قطر المترسبات وكميتها يعتبران عاملان آخران يجب أخذهما في الحسبان. وبناء على ما سبق يمكن القول أنه لا يوجد هناك أنبوبة ذات خشونة هيدروليكيه تساوي صفر. ولتبسيط إشتقاق الخشونة الهيدروليكيه للنموذج الرياضي تم اعتبار العوامل الأكثر أهمية وهي:

- أ. الخشونة السطحية الداخلية للأنبوب من الداخل ( $K_s$ )
- ب. قطر المترسبات وكميتها ( $d_{50}, hb$ )

وقد تم إعتماد  $d_{50}$  كمثل للمترسبات بناء على قناعة الباحث بضرورة تمثيل المترسبات بطريقة عملية وبناء على قبول هذا الأمر من مجموعة كبيرة من الباحثين مثل: (Laursen, Durand, ASCE, Graf.... etc.) أما شكل المترسبات فيمكن اعتبار أن تأثيره يدخل ضمن المعاملات التي يتم إيجادها بتحليل النتائج المعملية حيث أن شكل المترسبات له أثر مباشر على عدم استقرار الجريان (Turbulency) وبالتالي فيعتبر أنه قد أخذ بالحسبان من خلال التحليل وإذا اعتبرنا أن المتغيرات الأخرى هي متغيرات لها علاقة مباشرة بمعدل الضغط الهيدروليكي (Hydraulic Gradient) (i)، فإن أثراها جميعاً يظهر خلال السريان على (أ) لذا تكون بذلك قد وضعنا فرضياً صحيحاً للتعامل مع الخشونة، وقد تم اختيار العلاقة ( $K_s$ ) والتي أقرها مجموعة من الباحثين منهم ((Ackers)) لتمثيل الخشونة الهيدروليكيه.

$$K_{ss} = \frac{P_u K_s + P_b d_{so}}{P_u + P_b}$$

١٣

## Kss : الخشونة الهايروليكنية الكلية

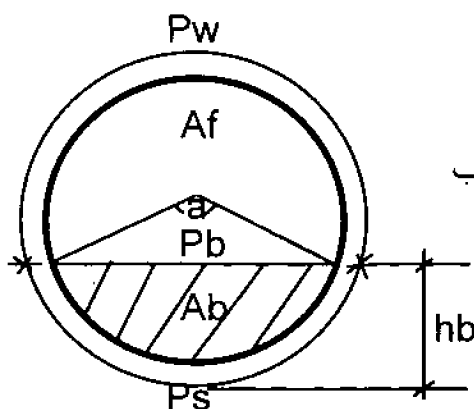
**K<sub>s</sub>** : خشونة سطح الأنابيب

Pw : محِيطُ الْجَزءِ الْمُبْتَلِ مِنَ الْأَبْوَابِ

Pb : عرض الجزء المترسب

d50 : قطر المترسبات محسوباً عند 50% Passing

والمتغيرات تظهر في شكل رقم (١)



شكل رقم ١ مقطع الأنبوب

و عند فحص العلاقة السابقة مع النتائج المعملية وذلك باستخدام  $K_{ss}$  بدلًا من  $K_s$  في معادلة Colebrook-White Equation للأسباب الخمسة (الجريان الخشن) كما في شكل رقم (٢) ثبت أن:

$$\frac{V - V_{ss}}{V_{ss}} = 9.5\%$$

حيث أن  $V$  : هي سرعة السريان المحسوبة في المعلم (Experimental)  
 $V_{ss}$  : هي السرعة للسريان المحسوبة من استخدام  $K_{ss}$  بدلاً من  $K_s$

$$V_{ss} = 2\sqrt{2gD_E i} \log\left(\frac{3.7D_E}{K_{ss}}\right)$$

١٣

DE : هو القطر المكافئ لمساحة الجزء المبتدأ من الجريان ويمكن حسابه رياضياً  
كما سأليكم .

ويمكن أن نعزي هذا الفرق إلى أن الأنبوب في المعمل كان مكون من جزئين طوليين مساحة مقطع كل منهما هو نصف مساحة المقطع الكلية وكذلك ثالث وصلات عرضية وهذا بالطبع له تأثير على الخشونة الهيدروليكيه الكلية مما أحدث الفروقات بين السرعة المحسوبة معملياً والمحسوبة من معادلة Colebrook-White .  
Kss باستخدام

وعليه فإن استخدام معامل الخشونة  $K_{ss}$  يكون معبراً عن الحالة الهيدروليكيّة للسرير داخلي الأنبوب، وقد تم اعتمادها للاستخدام في النموذج الرياضي المقترن.

النموذج الرياضي الشبه نظري المعتمد

تمت مضاهاه بين النتائج المخبرية ومعظم الطرق المتاحة والتي تأخذ في الحسبان سريان المترتبات وكان في هذه المضاهاه تجاوز للمجال الذي تستخدم فيه هذه الطرق فكان أن أعطت هذه الطرق نتائج خاطئة في جزء منها وفي الجزء الآخر لم تستوعب كل المتغيرات الهيدروليكيه.

النموذج النظري لـ Graf et al. (٥) :

تم فحص هذا النموذج مقابل النتائج المخبرية:

$$\frac{CVR}{\sqrt{gd_{50}^3(s-1)}} = \phi \left[ \frac{(s-1)d_{50}}{iR} \right]$$

١٣

$$C = Q_s / Q$$

هو معدل سريان المياه

نصف القطر الهايدروليكي R

سرعه الجريان

الكتافة النسبية

الجاذبية الأرضية

وكانت نتيجة المضاهاة = 52 % ولكن هذا التموزج لم يعتمد لكون معامل  
الخشونة الهايدروليكيّة للأثبوب غير موجود كما أنها أشترقت أصلاً للأثابيب  
الناعمة.

: (10) Wicks النموذج النظري لـ

وقد تم فحص النماذج النظري مقابل النتائج المعملية جميعها:

$$\frac{\rho^3}{\rho_s - \rho} \frac{d_{50} V^4}{g \mu^2} = \phi \left[ \frac{D_e V \rho}{\mu} \left( \frac{d_{50}}{D} \right)^{2/3} \right]$$

٢

هي اللزوجة الحركية (dynamic viscosity)

$D = 4 R_E$  : هو القطر المكافئ للجزء المبتدأ فوق المتر سبات

ولقد كانت المضاهاة = 88% إلا أن هذا النموذج لا يمكن اعتماده على  
حالته بسبب افتقاره إلى ثلاثة عوامل هيدروليكيه رئيسية وهي: & i.  
C كما أنها أثبتت أصلاً لالأكياس الناعمة وهي من الأهمية بمكان بحيث  
أنه لا يمكن تحاولها.

ولكون نسبة المضاهاة عالية ويمثل النموذج النتائج المعملية بشكل كبير فقد تم اعتماده للتطوير وليفي بالمعطيات المطلوبة للتصميم المثالي لمجاري الأمطار ذات السريان الكامل (Full Flow) ويمكن كتابة النموذج المذكور في المعادلة السابقة بالشكل التالي:

$$S = \frac{\rho_e}{\rho}, \quad v = \frac{\mu}{\rho}$$

وباستبدال تصبح المعادلة السابقة:

$$T = \frac{d_{50} V^4}{\nu^2 (s-1) g} \quad \dots \dots \dots 8$$

ولكون هذا المعامل والذي يمثل متغيرات النقل للمترسبات يفتقر إلى وجود متغير رئيسي وهو تركيز المترسبات الداخلية لخط المجرى فقد وجدا أنه من الضروري إضافةه إلى  $T$  لتصبح  $T$  معامل شبه نظري :

$$T = \frac{C \cdot d_{s0} \cdot V^4}{v^2(s-1)g} \quad \dots \dots \dots \quad 9$$

أما المعامل الآخر  $K$  فهو :

$$K = \frac{D_E V \rho}{\mu} \left( \frac{d_{50}}{D} \right)^{2/3} = \frac{4 R_E V \rho}{\mu} \left( \frac{d_{50}}{D} \right)^{2/3}, \dots . . . . . 10.$$

وإذا ماتم إدخال الميل الهيدروليكي عليه بـاستبدال ( بمعادلة Colebrook-White ) المعادلة آنفـا للأـنابـيب الخـشـنة :

$$V = 4 \sqrt{2 g R_E i} \log \left( \frac{14.8 R_E}{K_s} \right) \dots . . . . . 11$$

فتصبح المعادلة رقم ( ١٠ ) :

$$K = \frac{4 R_E [4 \sqrt{2 g} i^{0.5} R_E^{0.5} \log \left( \frac{14.8 R_E}{K_s} \right)]}{v} \left( \frac{d_{50}}{D} \right)^{2/3} \dots . . . . . 12$$

$$K = M \cdot \frac{i^{0.5} R_E^{1.5}}{v} \left( \frac{d_{50}}{D} \right)^{2/3} \log \left( \frac{14.8 R_E}{K_s} \right) \dots . . . . . 13$$

حيث  $M$  ثابت  $= 16 \sqrt{2 g} = 70.9$

وبالرجوع إلى العلاقة الرئيسية :

$$T = \Phi K$$

$$\frac{C \cdot d_{50} V^4}{v^2 \cdot (s-1) g} = a \cdot \left[ \frac{i^{0.5} R_E^{1.5}}{v} \left( \frac{d_{50}}{D} \right)^{2/3} \log \left( \frac{14.8 R_E}{K_{ss}} \right) \right]^{1/4} \quad ..... 14$$

حيث  $a, b$ : معاملات تتحدد على ضوء تحليل النتائج ومن التحليل الإحصائي والرياضي .

وبالنظر إلى العلاقة السابقة نجد أنها تحتوي على جميع المتغيرات الهيدروليكية وتمثل السريان في حالة وجود المترسبات تمثيلاً جيداً، لذا فقد تم تطبيق النتائج على النموذج السابق فاعطى المضاهاة المطلوبة والتي تم إعتماد نتائجها للتصميم.

**تحليل النتائج:**

تم استخدام العلاقات التالية لتحديد علاقة عمق المترسبات بقطر الأنوب (انظر شكل رقم (١)):

$$\angle a = 2 \cos^{-1} \left( 1 - 2 \frac{h_b}{D} \right)$$

$$\frac{P_b}{D} = 2 \sqrt{\frac{h_b}{D} - \left( \frac{h_b}{D} \right)^2}$$

$$\frac{A_b}{A} = \frac{1}{2\pi} (a - \sin a)$$

$$\frac{A_t}{A} = 1 - \frac{A_b}{A}$$

$$\frac{P_s}{P} = \frac{a}{2\pi}$$

$$\frac{P_t}{P} = 1 - \frac{a}{2\pi}$$

$$\frac{D_{Bb}}{D} = \frac{a - \sin a}{a + 2 \sin(a/2)}$$

$$\frac{D_E}{D} = \frac{[2\pi - (a - \sin a)]}{[2\pi - a + 2 \sin(a/2)]}$$

كما تم إيجاد العلاقات الرياضية التالية :

$$\frac{h}{D} = 0.786 \left( \frac{A}{A_b} \right)^3 - 1.184 \left( \frac{A}{A_b} \right)^2 + 1.385 \left( \frac{A}{A_b} \right) + 0.0035$$

$$\frac{A}{A_b} = -0.86 \left( \frac{h}{D} \right)^3 + 1.286 \left( \frac{h}{D} \right)^2 + 0.579 \left( \frac{h}{D} \right) - 0.0015..16$$

وتسهيلاً على المصمم فقد تم رسم جميع العلاقات السابقة بشكل منخليات لتقليل عملية الحسابات ( انظر ملحق رقم (١) ) .

وقد تم حساب القطر الهايدروليكي المكافئ من العلاقة:

$$D_E = 4 \cdot R_E$$

وأليحدل تم استخدام برنامج Spread sheet Quattro Pro 4.0 وتمت تغذية النموذج الرياضي مجتمعة وتم تغذية النتائج المتقدمة بالمعادلات الرياضية السابقة وذلك لتحليل النتائج مجتمعة وتم تغذية النموذج الرياضي (Semi Theoretical Model) بشقيه T&K وحسابهما من المعلومات المعملية ، وطبقت عليهما طرق التحليل الإحصائي والرياضي (Regression and statistical Analysis) وذلك للإيجاد المعاملات  $a$ & $b$  في معادلة  $y = ax + b$  يمثل النتائج.

$$T = a K^b$$

$$a = 0.91 \quad \text{and} \quad b = 2.789$$

فاصبیع النموذج النهائي، هو :

$$\frac{C \cdot d_{50} I^{-4}}{\nu^2 (s-1) g} = 0.01 \cdot \left[ \frac{i^{0.5} R_E^{1.5}}{\nu} \left( \frac{d_{50}}{D} \right)^2 \cdot \log \left( \frac{14.8 R_E}{K_{ss}} \right) \right]^{0.89}$$

18.... وبعد تطبيق تحليل المضاربة (Correlation Analysis) على K وـ T & K وـ V، وجد أنها تساوي ٦٣٪ وهي نسبة جيدة في مجال تحليل النتائج المخبرية الهابروليكية.

وإذا ما أعيد ترتيب العلاقة السابقة مع إستبدال:

$$g = 8.821 , Z = \log \frac{14.8 R_E}{K_{ss}}$$

تصبح العلاقة:

$$V = 0.18 Z R_E (s-1) C^{-0.25} \nu^{-0.8} i^{0.4} \left( \frac{d_{50}}{D} \right)^{0.4}$$

$$i = 3.52 \frac{C^{0.7} V^{2.9} \nu^{0.6} D^{1.3}}{Z R_E^{2.8} d_{50}^{0.6} (s-1)^{0.7}}$$

.....19

### حالات النقل للمترسبيات في مجاري الأمطار:

يعتبر من الأهمية بمكان للمصمم معرفة حالة المترسبيات في داخل خطوط المجاري وهل سيكون هناك متربسات وما حالتها وهل السريان متجانس أم غير متجانس، لذا فقد تم إيجاد الشكل رقم ( ٣ ) والذي يمثل العلاقة بين

## Sheild's Shear Parameter (Sp) & Particle Shear Reynold's Parameter (Re\*)

أي:

$$Re^* = \frac{d_{50} V^*}{\nu} = \frac{d_{50} \sqrt{g R_E i}}{\nu}$$

$$Sp = \frac{R_E i}{(s-1)d_{50}} \quad ..... 20$$

وكما يظهر من الشكل فإنه بمجرد حساب المتغيرين وتوقيعهما على الشكل فإنه يمكن معرفة حالة السريان داخل الأنابيب فكلما زاد تركيز المترسبات كلما زادت قيمة Sp وقيمة Re\* والحدود المتقطعة المبينة بالشكل تبين الحد الأدنى الذي يكون فيه السريان بشكل متجانس وبسرعة عالية مما لا يتيحبقاء أي مترسب داخل خط المجاري، وأما الحد الأعلى فيكون إذا قلت السرعة وزاد تركيز المترسبات عليه تصبح إمكانية غلق الأنابيب بالمترسبات واردة ،

وأما المنطقة الوسطى فعندها يكون السريان مصحوبا بالمترسبات وتكون هناك حالة إتزان بين المترسبات الداخلة للأنابيب وعمق المترسبات والمترسبات الخارجة من الأنابيب ، وللمصمم حرية الاختيار لطبيعة السريان حسب الوضع الميداني للمجاري وحسب الميل داخل المنطقة علما بأن السرعة الأكبر والميل الأكبر للضغط يؤدي إلى تأكل أنابيب الخط وزيادة تكاليف الحفر والتركيب، ويعتبر هذا الشكل وسيلة قوية جدا من وسائل التصميم ويمكن استخدامه لإيجاد ميل الضغط مباشرة وذلك بإيجاد الخط المناسب لقطر المترسبات ويمكن التقرير (Interpolation) للأقطار غير الموجودة.

**خواص الطريقة المقترحة:**

أولاً: العلاقة بين سرعة السريان  $V$  وقطر المترسبات  $d_{50}$ :

من خلال الشكل رقم (٤) هناك علاقة واضحة بين  $d_{50}$  و  $V$  وقد تم استخدام الطريقة المقترحة لحساب  $V$  بناء على أقطار معطاه للمترسبات. ويلاحظ من الشكل أن السرعة المطلوبة لاستقرار السريان للخلط تزداد كلما زاد قطر المترسب وهذا منطقي حيث أن زيادة القطر للمترسب تزيد الحمل (load rate) مما يتبعه زيادة في السرعة المطلوبة، كما ويلاحظ أنه كلما زادت الخشونة للأنبوب كلما قلت السرعة المطلوبة وذلك لنفس القطر من المترسبات وهذا بسبب أن الخشونة تزيد من الإختلال المائي داخل الأنابيب (Turbulency) وهذا يزيد من دفع المترسبات مما يقلل من السرعة المطلوبة.

ويجدر ملاحظة أن  $d_{50}$  تزيد من الخشونة للأنبوب ولكن الأثر الناتج من الحمل المنقول أكثر من أثراها كخشونة إضافية للأنبوب، أي أن:

$$V \propto d_{50} \quad \text{كمول منقول}$$

$$V \propto 1/d_{50} \quad \text{خشونة هيدروليکية إضافية داخل الأنابيب}$$

ولكن الأول أقوى أثرا من الثاني أي أن:

$$V \propto d_{50} \propto 1/K_{ss}$$

**ثانياً: أثر قطر الأنابيب  $D$  على السرعة  $V$ :**

يلاحظ من الشكل رقم (٥) أنه كلما زاد قطر الأنابيب زادت السرعة المطلوبة وكلما زاد قطر المترسب كلما زادت السرعة المطلوبة، وككون أن القطر يؤثر تأثيراً مباشراً على السرعة فيكون هذا دليلاً آخر على أن استخدام سرعة تنظيفية واحدة لجميع أنظار الأنابيب أمر غير صحيح فقد يكون استخدام سرعة ١ م/ث لالأقطار الصغيرة فيه معامل

أمان تصميمي كبير ويؤثر سلبا على عمر الأنابيب ، واستخدام سرعة ١ م/ث للأقطار الكبيرة قد يكون غير كاف ويؤدي إلى إغلاق الأنابيب بشكل كامل.

### ثالثاً: أثر عمق وقطر المترسبات على ميل الضغط :

ويلاحظ من الشكل ( ٦ ) أنه لقطر ثابت من المترسبات فإنه كلما زاد عمق المترسبات كلما زاد ميل الضغط والفقد في الصافة وهذا نتيجة لزيادة السرعة نتيجة لتضيق المساحة المتاحة للسريان من جراء وجود المترسبات وفي نفس الوقت نتيجة لزيادة الخشونة بشكل واضح، أي أن:

$$i \propto hb/D$$

### رابعاً: أثر تركيز المترسبات على سرعة السريان:

يلاحظ من الشكل رقم ( ٧ ) أن العلاقة عكسية وهذا مرجعه أنه كلما زاد دخول المترسبات للأنبوب كلما زاد عمقها ومن ثم يقل القطر فتزيد السرعة نتيجة للمواصلة (Continuity) ، فلذا القيمة معينة من C كلما زاد hb/D كلما قلت السرعة، أي أن:

$$V \propto 1/C \propto 1/hb$$

وكلخص لخصائص السريان بوجود مترسبات :

$$V \propto 1/C \propto d_{50} \propto 1/hb \propto 1/K_s$$

### طريقة التصميم المقترحة:

لتصميم خطوط المجاري التي تكون عرضة لدخول المترسبات يمكن اتباع

ال التالي :

١. الحساب ثمياني مع دراسة لاحتمالات تواجد المترسبات حول مجاري الأمطار وهذا يشمل المنطقة المحيطة حيث أنها يمكن أن تقوى مع المطر مترسبات للمجاري وعليه تقدر الكمية المتوقعة والتي يتحمل أن تصل للأنبوب  $Q_s$ .
  ٢. من المعلومات الهايدروليجية يتم حساب كمية الأمطار المتوقع دخولها للأنبوب  $Q$ .
  ٣. يفرض القطر المناسب العبئي للمجاري  $D$ .
  ٤. يفرض العمق المتوقع للمترسبات في الأنابيب  $hb$ .
  ٥. يتم حساب العلاقات الرياضية المختلفة رقم ( ١٥ ، ١٦ ) ويمكن استخدام المنحنيات في ملحق رقم ( ١ ).
  ٦. يتم استخدام الطريقة المقترحة (معادلة رقم ( ١٨ )) لتحديد السرعة المطلوبة وذلك باستخدام ميل خط المجاري في الموقع، فإذا كانت السرعة اقتصادية غالباً ما تكون أقل من  $2 \text{ m/s}$  يتم اعتمادها للتصميم وإلا فيرجع إلى خطوة رقم ٣ لإختيار قطر آخر أو ميل آخر.
  ٧. يمكن للمصمم أن يفرض السرعة أولاً ومن ثم يوجد الميل المطلوب ويمكن تصميم برزامج كمبيوتر بسيط ليقوم بهذه المهمة فيعطي نتائج عن كل الحالات التي يرغب المصمم بدراستها .
  ٨. يمكن البدى بحساب الميل باستخدام الشكل رقم ( ٣ ) ومن ثم اختيار القيمة المناسب ل  $Sp$  ومنها يتم حساب الميل بعد فرض القطر وعمق المترسبات.
- ويجب ملاحظة أن التصميم يكون في حالة الغمر الكامل لمجموعات الأمطار (gutters).

الخلاصة:

شملت هذه الدراسة مجموعة كبيرة من النتائج المعملية وتم خلاها استناداً  
لنموذج رياضي شبة نظري وبعد فحصه تم الوصول إلى طريقة عملية للتصميم  
لمجاري الأمطار في الشرق الأوسط والتي يغلب على خطوط المجاري فيها أنها تمتليء  
في فترة الصيف وكتيبة لهذه الدراسة يمكن الخلوص إلى التالي:

١. تصميم المجاري في الشرق الأوسط يجب أن يأخذ وبشكل جدي في الحسبان  
المترسبات التي تدخل في خطوط المجاري وذلك لأنها الكبير على  
المتغيرات الهيدروليكيه في التصميم.
٢. وجود سرعة واحدة للتصميم حسب الموصى به في مراجع التصميم الدولية  
يعتبر أمر غير دقيق ويؤود إلى نتائج غير صحيحة فالسرعة لها متغيرات  
كثيرة تؤثر عليها كما بيننا أثناء دراسة الخواص للطريقة المقترحة:

$$v \propto 1/C \propto d^{50} \propto 1/hb \propto 1/Ks$$

٣. تعتبر الطريقة المقترحة طريقة دقيقة حيث أنها تعتمد على نتائج معملية وتأخذ  
في الحسبان جميع المتغيرات الهيدروليكيه  
( D, C, T, V, Ks, d<sub>50</sub>, P, R, h<sub>0,1</sub> ) و يوجد بينها علاقات واضحة  
و ذات مفهوم واقعي لخواص السريان.

٤. تم تقديم وسيلة عملية لمعرفة حالة السريان داخل المجاري وذلك من خلال  
العلاقة بين ( Re\* & Sp ) حيث أنها تضع بين يدي المصمم طريقة مباشرة  
لإختيار الميل ولتوقع حالة السريان.

ويجدر بالذكر أن الطريقة المقترحة أشترت لمجال مترسبات من قطر امم إلى  
امم وقطر الأنبوب من ١٦٤ مم إلى ٢٥٣ مم لذا فإنه يمكن استخدامها مباشرة لهذا  
المجال، والتقرير عنها هو خارج هذا المجال.

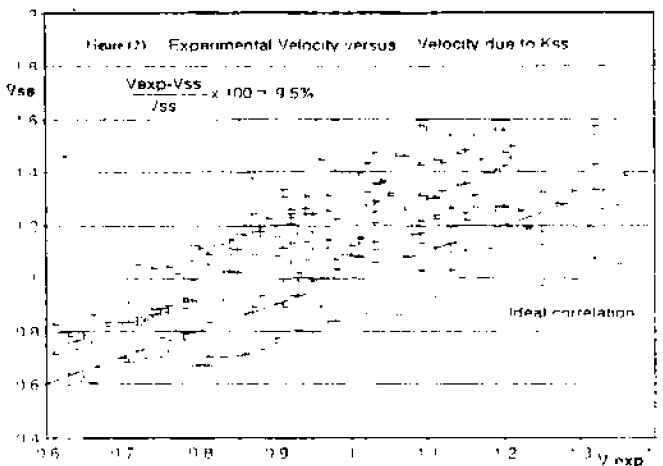


Figure 2(a) Proposed Semi-Theoretical Parameters

$$R^2 = 0.63$$

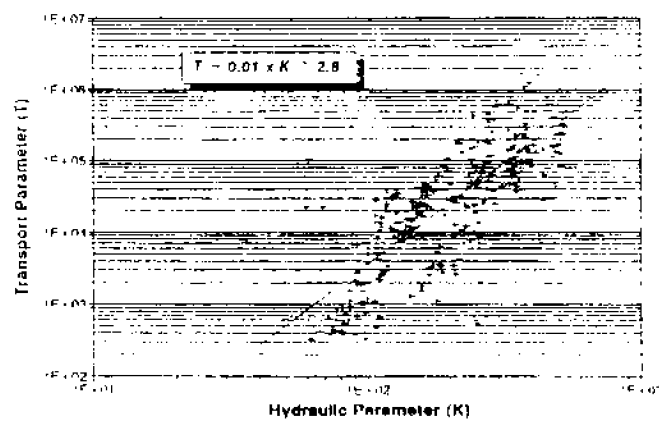


Figure 11 Shear Reynolds No. vs Shields Parameter

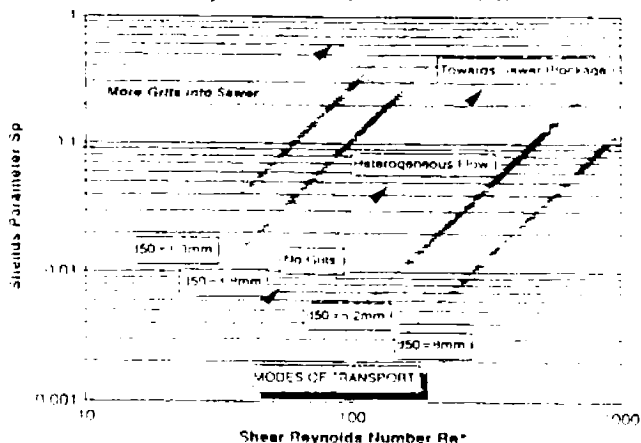


Figure 12 The Proposed Model Characteristics

